

Wojciech MIKANIK

## TRANSPUTEROWA REALIZACJA RÓWNOLEGŁEGO ALGORYTMU PRZESZUKIWANIA WYCZERPUJĄCEGO

**Streszczenie.** Minimalną doskonałą funkcją mieszającą (MDFM) nazywamy iniekcję ze zbioru kluczy  $W$  w przedział liczb całkowitych  $[0..card(W) - 1]$ . Majewski i Czech (*The Computer Journal* 36, 6 (1993)) przedstawili algorytm znajdowania MDFM o postaci  $F(w) = (h_0(w) + g \circ h_1(w) + g \circ h_2(w)) \bmod card(W), w \in W$ . Jeden z kroków algorytmu — przeszukiwanie wyczerpujące — ma wykładniczą pesymistyczną złożoność czasową. W niniejszym artykule przedstawiono równoległy algorytm przeszukiwania wyczerpującego. Badania eksperymentalne z jego implementacją dla transputerów pokazują, że skraca on czas generowania MDFM.

## TRANSPUTER IMPLEMENTATION OF PARALLEL EXHAUSTIVE SEARCH

**Summary.** Minimal perfect hash function (MPHF) is an injection from a set of keys  $W$  into an interval of integers  $[0..card(W) - 1]$ . Majewski and Czech (*The Computer Journal* 36, 6 (1993)) presented an algorithm for finding MPHF of the form  $F(w) = (h_0(w) + g \circ h_1(w) + g \circ h_2(w)) \bmod card(W), w \in W$ . One of the steps of the algorithm — exhaustive search — has an exponential worst-case time complexity. In this article a parallel algorithm for the exhaustive search is presented. The experiments with an implementation of the algorithm for transputers show that it reduces the time of finding MPHF.

## RÉALISATION D'UN ALGORITHME PARALLÈLE DE RECHERCHE EXHAUSTIVE SUR TRANSPUTERS

**Résumé.** La fonction minimale et parfaite de dispersion (FMPD) est une injection de l'ensemble des clés  $W$  sur l'intervalle des entiers naturels  $[0..card(W) - 1]$ . Majewski

et Czech (*The Computer Journal* 36, 6 (1993)) ont présenté un algorithme de recherche FMPD de forme  $F(w) = (h_0(w) + g \circ h_1(w) + g \circ h_1(w)) \bmod \text{card}(W)$ ,  $w \in W$ . Une de ses étapes — la recherche exhaustive — a une exponentielle complexité pessimiste de temps. Dans cet article on a présenté un algorithme parallèle de recherche exhaustive. Les expériences effectués avec une implémentation sur transputers ont montré que ce algorithme raccourci le temps de recherche de la FMPD.

## 1. Wstęp

Doskonałą funkcją mieszającą (DFM) nazywamy iniekcję  $F$  ze zbioru kluczy  $W$  w przedział liczb całkowitych  $[0..N - 1]$ , gdzie  $N \geq \text{card}(W)$ . Jeśli  $N = \text{card}(W)$ , bijekcję  $F$  nazywamy minimalną, doskonałą funkcją mieszającą (MDFM). Z pomocą takiej funkcji można dla danego zbioru kluczy w jednej próbie odnajdywać poszukiwany klucz w tablicy bądź stwierdzać, że klucz taki w tablicy nie występuje. Metodę tę stosuje się w różnego rodzaju programach tłumaczących, np. w kompilatorach, interpretatorach, assemblerach, w słownikach komputerowych oraz wszędzie tam, gdzie zachodzi potrzeba szybkiego wyszukiwania informacji, a zbiór kluczy znany jest na początku tworzenia systemu i nie ulega zmianie w trakcie jego pracy.

Znane są rozmaite algorytmy znajdowania MDFM. Jeden z nich — o liniowej złożoności czasowej — przedstawili Czech i Majewski w pracy [2]. Reprezentacja MDFM generowana tym algorytmem wymaga  $aN + O(1)$  słów pamięci o długości  $\log_2 N$  bitów każde, gdzie  $a = 2$ . Zmniejszanie wartości  $a$  powoduje znaczne wydłużenie czasu realizacji algorytmu, ze względu na wykonywanie przeszukiwania wyczerpującego, które ma wykładniczą złożoność czasową. W niniejszym artykule zaprezentowano równoległy algorytm przeszukiwania wyczerpującego, który przez wykorzystanie systemu wieloprocessorowego pozwala na skrócenie czasu generowania MDFM dla małych wartości  $a$ .

W punkcie 2 przedstawiono krótki opis algorytmu Czecha i Majewskiego. Punkt 3 zawiera omówienie równoległego algorytmu przeszukiwania wyczerpującego. W punkcie 4 opisano badania eksperymentalne przeprowadzone z wykorzystaniem transputerowej implementacji równoległego algorytmu. W punkcie 5 zaprezentowano uzyskane wyniki oraz ich analizę teoretyczną. Podsumowanie zamieszczono w punkcie 6.



## 2. Algorytm Czecha i Majewskiego generowania MDFM

Omawiany algorytm znajduje minimalną doskonałą funkcję mieszającą o postaci  $F(w) = (h_0(w) + g \circ h_1(w) + g \circ h_2(w)) \bmod \text{card}(W)$ , gdzie  $w \in W$ ,  $h_0, h_1, h_2$  są pomocniczymi funkcjami pseudolosowymi,  $g$  — funkcją wyznaczaną w trakcie realizacji algorytmu, która reprezentowana jest za pomocą tablicy o rozmiarze  $2a \times \text{card}(W)$ . Algorytm składa się z kilku kroków. Przy jego omawianiu przyjęto konwencję, iż pary i trójki nieuporządkowane zapisywane są za pomocą nawiasów okrągłych, np.  $(a, b, c)$ , zaś pary i trójki uporządkowane — za pomocą nawiasów kątowych, np.  $\langle a, b, c \rangle$ .

W pierwszym kroku wyznaczane są funkcje  $h_0, h_1, h_2$ , takie że  $\forall w_1, w_2 \in W, w_1 \neq w_2 \Leftrightarrow \langle h_0(w_1), h_1(w_1), h_2(w_1) \rangle \neq \langle h_0(w_2), h_1(w_2), h_2(w_2) \rangle$ . Wartości  $h_1, h_2$  definiują graf zależności  $G_0 = (V_0, E_0)$ , taki że  $V_0 = \{h_1(w) : w \in W\} \cup \{h_2(w) : w \in W\}$ ,  $E_0 = \{(h_1(w), h_2(w)) : w \in W\}$ . Dla potrzeb dalszych rozważań przyjmijmy następujące oznaczenia:  $W_f = \{w : (h_1(w), h_2(w)) \text{ nie należy do żadnego cyklu w grafie } G_0\}$ ,  $W' = W - W_f$  oraz  $G = (V, E)$ , taki że  $V = \{h_1(w) : w \in W'\} \cup \{h_2(w) : w \in W'\}$ ,  $E = \{(h_1(w), h_2(w)) : w \in W'\}$ .

W kroku drugim zbiór  $W'$  dzielony jest na podzbiory  $W_0, W_1, \dots, W_k$ , takie że  $W_0 = \emptyset, W_i \subset W_{i+1}, W_i \neq W_{i+1}, i = 0, 1, \dots, k-1, W_k = W'$ . Ciąg  $W_0, W_1, \dots, W_k$  nazywany jest wieżą podzbiorów zbioru  $W'$ . Zbiór  $X_i = W_i - W_{i-1}, i = 1, 2, \dots, k$ , jest określany mianem  $i$ -tego poziomu wieży. Niech  $x_i \in X_i, i = 1, 2, \dots, k$ , oznacza klucz kanoniczny  $i$ -tego poziomu wieży. Jako klucz kanoniczny można wybrać dowolny element podzbioru  $X_i$ . Przyjmijmy także, że  $Y_j = \{x_i : i = 1, 2, \dots, j\}$  oraz  $\forall i \in [1..k], \forall w \in W_i$  niech  $s(w) = (y_0, y_1, \dots, y_m)$  oznacza minimalny ciąg kluczy  $y_i$ , taki że ciąg krawędzi  $((h_1(y_0), h_2(y_0)), (h_1(y_1), h_2(y_1)), \dots, (h_1(y_m), h_2(y_m)))$  nad zbiorem wierzchołków  $V$  tworzy drogę od  $h_1(w)$  do  $h_2(w)$ . Zachodzi wówczas  $h_1(w) = h_1(y_0)$  oraz  $h_2(w) = h_2(y_m)$ .

W kolejnym kroku algorytmu szukane są takie wartości  $U(x_i) \in [0..N-1], i = 1, 2, \dots, k$ , że dla funkcji  $F(w)$  zdefiniowanej następująco:

$$F(w) = \begin{cases} (h_0(w) + U(w)) \bmod N; & w \text{ jest kluczem kanonicznym} \\ & w \in Y_i \\ (h_0(w) + \sum_{k=0}^m (-1)^k U(y_k)) \bmod N; & w \in W - W_f - Y_k \\ & \text{oraz } s(w) = (y_0, y_1, \dots, y_m) \end{cases}$$

prawdziwa jest równoważność:  $\forall w_1, w_2 \in W - W_f, w_1 = w_2 \Leftrightarrow F(w_1) = F(w_2)$ . Krok ten jest realizowany algorytmem przeszukiwania wyczerpującego z powrotami. W algorytmie tym dla  $i \in [1..k-1]$  wyznaczywszy  $U(x_j)$  dla  $j = 1, 2, \dots, i$  (a więc także wartości  $F(w), w \in W_i$ ) poszukuje się  $U(x_{i+1})$ , takiego aby dla wszystkich  $w \in W_{i+1}$  funkcja  $F(w)$  była różnowartościowa. Jeśli takie  $U(x_{i+1})$  nie zostanie znalezione, wówczas wykonywany jest powrót i obliczenia są kontynuowane dla nowej wartości  $U(x_i)$ .

Po określeniu  $F(w)$  dla kluczy  $w \in W - W_f$ , kluczom  $w \in W_f$  przyporządkowuje się arbitralnie takie wartości  $i \in [0..N - 1]$ , aby została zachowana różnowartościowość  $F(w)$ , a następnie znajdowana jest funkcja  $g$  reprezentowana w postaci tablicy, taka że  $F(w) = (h_0(w) + g \circ h_1(w) + g \circ h_2(w)) \bmod N, w \in W$ , jest minimalną doskonałą funkcją mieszającą. Bardziej szczegółowy opis algorytmu może czytelnik znaleźć w pracy [2].

### 3. Równoległy algorytm przeszukiwania wyczerpującego

W przedstawionym powyżej algorytmie sekwencyjnym przeszukiwanie wyczerpujące kończy się po znalezieniu pierwszego rozwiązania — minimalnej doskonałej funkcji mieszającej dla danego zbioru słów. Sprawdzany jest więc tylko pewien fragment drzewa przeszukiwań i tylko ten fragment powinien zostać przeszukany przez algorytm równoległy. Kale i Sale-tore [6] zaproponowali strategię nadawania rozwiązaniom częściowym priorytetów i przechowywanie ich w kolejce priorytetowej umieszczonej w pamięci współdzielonej dostępnej dla wszystkich procesorów przeszukujących. W przypadku architektury opartej na przesyłce komunikatów naturalnym wyborem jest farma procesorów, opisana w pracach [5], [3]. Procesor *Nadzorca* rozdziela pracę między *Wykonawców*, realizujących przeszukiwanie wyczerpujące, oraz przechowuje uzyskane rozwiązania częściowe. W przedstawionym algorytmie generowania MDFM, rozwiązanie częściowe dla  $i$  poziomów wieży  $W_0, W_1, \dots, W_{i-1}$  zawiera dane określające wartości  $U(x_j)$  dla  $j = 0, 1, \dots, i - 1$ . Początkowe fragmenty różnych rozwiązań częściowych mogą być identyczne. Użycie struktury danych zwanej *trie* (od ang. retrieval)<sup>1</sup> pozwala na wykorzystanie tego faktu w celu zmniejszenia rozmiaru pamięci koniecznej do ich przechowywania. Każdy węzeł *trie* zawiera następujące dane:

- numer poziomu wieży  $l$ ;
- wartość parametru  $p$  zdefiniowanego następująco:

$$p = (U(w_l) + h_0(w_l) - rnd\_h_0(w_l) + card(W)) \bmod card(W)$$

gdzie  $w_l$  jest kluczem kanonicznym  $l$ -tego poziomu wieży,  $rnd\_h_0(w_l)$  — pseudolosową liczbą całkowitą z przedziału  $[0..card(W) - 1]$  przyporządkowaną kluczowi  $w_l$ ;

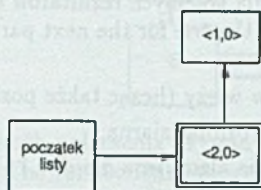
- liczba synów węzła;
- znacznik określający, czy poddrzewo, którego dany węzeł jest korzeniem, ma być przydzielone do przeszukania (na rysunkach węzły takie oznaczone są podwójną ramką);

<sup>1</sup>Pomysł zastosowania tej struktury danych został zaczerpnięty z prac [1], [4], [7].

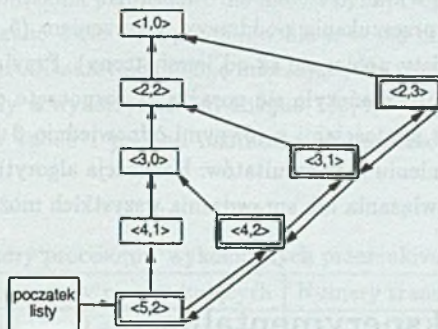


- wskaźnik do ojca węzła;
- wskaźnik do jego lewego i prawego sąsiada.

Wszystkie liście *trie* tworzą dwukierunkową listę. Każdy z liści *trie* reprezentuje pojedyncze rozwiązanie częściowe. Nowe elementy są wstawiane do *trie* w taki sposób, aby ich uporządkowanie w liście odpowiadało kolejności, w jakiej poszczególne rozwiązania powinny być opracowywane. Jako pierwsze powinno być rozważane rozwiązanie częściowe reprezentowane przez skrajnie lewy element listy. Stan początkowy struktury *trie* pokazany jest na rys. 1.

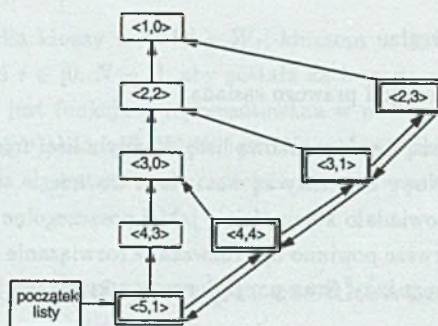


Rys. 1. Początkowy stan struktury *trie*  
Fig. 1. The initial state of the *trie* structure



Rys. 2. Stan *trie* dla pierwszego rozwiązania częściowego  
Fig. 2. The state of the *trie* for the first partial solution

Węzły identyfikowane są uporządkowaną parą liczb, z których pierwsza jest numerem poziomu wieży, a druga — wartością  $p$ . Para  $(1,0)$  znana jest każdemu procesorowi przeszukującemu w momencie rozpoczęcia obliczeń algorytmu. Przydzielenie pracy polega na wysłaniu numeru poziomu startowego, od którego rozpocznie się przeszukiwanie oraz wartości  $p$  dla tych poziomów, dla których jest to niezbędne. Warunkiem koniecznym przesłania danych przez *Wykonawcę* jest wystąpienie powrotu. Warunek wystarczający jest spełniony wtedy, gdy poziom aktualny jest wcześniejszy od startowego lub określono wartość  $F(w)$



Rys. 3. Stan trie dla kolejnych rezultatów częściowych  
 Fig. 3. The state of the trie for the next partial solutions

dla kluczy z co najmniej  $d$  poziomów wieży (licząc także poziom startowy). Wartość  $d$  jest parametrem algorytmu regulującym rozmiar ziarna.

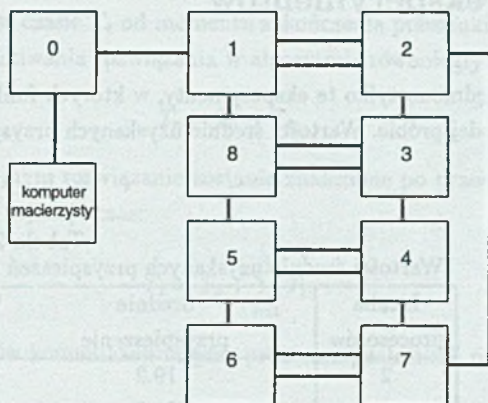
Przykładowo, rozpatrzmy działanie algorytmu dla  $d = 1$  i dwóch procesorów przeszukujących. W pierwszym kroku do jednego z nich wysyłane są dane o węźle  $\langle 2, 0 \rangle$ , jako że jest to jedyny liść. Załóżmy, że ulokowano słowa z poziomów 2, 3, 4, 5 z wartościami  $p$  równymi odpowiednio 2, 0, 1, 1, oraz że nie udało się znaleźć miejsca dla słów z poziomem 6. Rysunek 2 przedstawia stan trie dla tego rozwiązania częściowego. Następnie jednemu z procesorów przydzielone zostaje do przeszukania poddrzewo z korzeniem  $\langle 5, 2 \rangle$ , a drugiemu — z korzeniem  $\langle 4, 2 \rangle$  (węzły z listy pobierane są od lewej strony). Przyjmijmy, że przeszukiwanie rozpoczęte od węzła  $\langle 5, 2 \rangle$  zakończyło się porażką, a rozpoczęte od  $\langle 4, 2 \rangle$  — ulokowaniem słów z poziomów 4 i 5 z wartościami  $p$  równymi odpowiednio 3 i 0. Rysunek 3 przedstawia stan trie po uwzględnieniu tych rezultatów. Realizacja algorytmu jest kontynuowana do momentu znalezienia rozwiązania lub sprawdzenia wszystkich możliwości.

## 4. Badania eksperymentalne

Algorytm zaimplementowano w języku Parallel C<sup>2</sup>. Badania eksperymentalne przeprowadzono w systemie dziewięciu transputerów T800-25, z których do obliczeń wykorzystano osiem. Dziewiąty transputer służył do realizacji operacji wejścia/wyjścia. Każdy z transputerów wyposażony był w 1 MB pamięci operacyjnej. Wszystkie transputery osadzone były na płycie IMS B008 umieszczonej jako karta rozszerzająca w komputerze klasy PC pracującym pod kontrolą systemu operacyjnego MS-DOS. Sposób połączenia transputerów na płycie B008 przedstawiono na rys. 4.

<sup>2</sup>W trakcie prac korzystano z tekstu źródłowego programu w wersji sekwencyjnej opracowanego przez Bohdana Majewskiego z Uniwersytetu Queensland, Australia.





Rys. 4. Sposób połączenia używanych transputerów  
 Fig. 4. The connections between transputers

Eksperymenty przeprowadzono dla zbiorów zawierających 100, 200, ..., 1000 słów wybranych w sposób losowy ze słownika języka angielskiego zawartego w systemie operacyjnym Unix. Ze względu na ograniczenia pamięciowe nie można było przeprowadzić badań dla liczniejszych zbiorów. Wykonano dwie serie pomiarów dla  $a = 0.3$  oraz  $a = 0.25$ . W każdym eksperymencie generowano kilkakrotnie funkcję mieszającą dla tego samego zbioru słów stosując algorytm równoległy z wykorzystaniem kolejno 1, 2, 4, 7 Wykonawców oraz stosując algorytm sekwencyjny. W tabeli 1 podano rozmieszczenie procesów roboczych w każdej z

Tabela 1  
 Numery procesorów wykonujących przeszukiwanie

Liczba procesorów przeszukujących	Numery transputerów
1	1
2	1, 3
4	1, 3, 7, 8
7	1, 3, 4, 5, 6, 7, 8

czterech prób. Zadanie rozdzielające pracę było zawsze wykonywane w transputerze o numerze 2. Transputer o numerze 0 służył do komunikacji z komputerem macierzystym. Czas generowania funkcji był ograniczony do 10 minut. Po jego upływie działanie programu było przerywane. Parametr  $d = 1$  był stały.

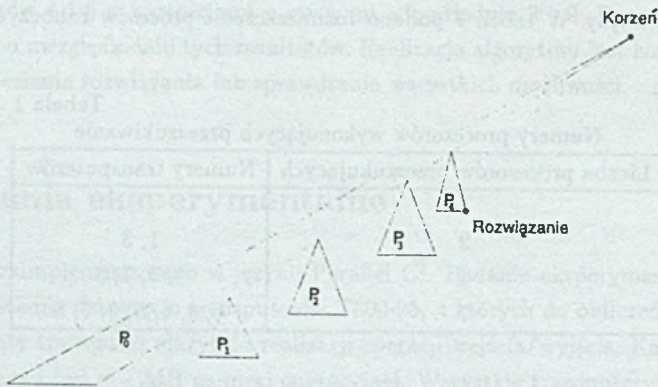
## 5. Wyniki eksperymentów

W analizie uwzględniono tylko te eksperymenty, w których funkcja mieszająca wygenerowana została w każdej próbie. Wartości średnie uzyskanych przyspieszeń przedstawiono w tabeli 2.

Tabela 2  
Wartości średnie uzyskanych przyspieszeń

Liczba procesorów	Średnie przyspieszenie
2	19.2
4	21.0
7	26.1

Wysoka wartość uzyskanych średnich przyspieszeń wynika z faktu, iż w części eksperymentów uzyskano tzw. *superprzyspieszenia*, tj. przyspieszenia większe od liczby użytych procesorów. W celu wyjaśnienia tego zjawiska rozpatrzmy przykład zilustrowany na rys. 5, dla chwili, gdy zakończyło się przeszukiwanie poddrzewa  $P_0$  oraz dostępne są rezultaty częściowe, będące korzeniami poddrzew  $P_1, P_2, P_3$  i  $P_4$ . Czasy przeszukiwania sekwencyjnego poddrzew



Rys. 5. Drzewo, dla którego  $S_4 > 4$

Fig. 5. Tree, for which  $S_4 > 4$

$P_0, P_1, \dots, P_4$  oznaczmy odpowiednio  $T_0, T_1, \dots, T_4$ . Czas przeszukiwania poddrzewa  $P_0$  w algorytmie równoległym przy użyciu  $n$  procesorów oznaczmy przez  $T_0^n$ . Poddrzewo  $P_4$  zawiera poszukiwane rozwiązanie. W algorytmie równoległym poddrzewa  $P_1, P_2, P_3$  oraz  $P_4$  będą



kolejno przydzielane *Wykonawcom* do przeszukania. W przypadku gdy  $n > 3$ , rozwiązanie zostanie znalezione w czasie  $T_4$  od momentu zakończenia przeszukiwania poddrzewa  $P_0$ . Całkowity czas  $T_r$  poszukiwania rozwiązania w algorytmie równoległym równy jest

$$T_r = T_0^r + T_4. \quad (1)$$

W algorytmie sekwencyjnym rozwiązanie zostanie znalezione po przeszukaniu kolejno poddrzew  $P_0, P_1, \dots, P_4$ , co zajmuje czas:

$$T_s = T_0 + \sum_{i=1}^4 T_i. \quad (2)$$

Pomijając wpływ kosztów komunikacji między procesami, zależność między  $T_0^r$  a  $T_0$  można wyrazić następująco:

$$nT_0^r = T_0 \quad (3)$$

a stąd  $T_0^r = T_0/n$ . Uwzględniając wzory (1), (2) i (3), przyspieszenie  $S_n$  w omawianym przypadku wyraża się wzorem

$$S_n = \frac{T_s}{T_r} = \frac{T_0 + \sum_{i=1}^4 T_i}{\frac{T_0}{n} + T_4}. \quad (4)$$

Jeśli  $T_0 \rightarrow 0$ , to  $S_n \rightarrow \frac{\sum_{i=1}^4 T_i}{T_4}$  i nie zależy wprost od liczby użytych procesorów, lecz od czasów  $T_1, T_2, T_3, T_4$  przeszukiwania poddrzew  $P_1, P_2, P_3, P_4$ .

## 6. Podsumowanie

W niniejszym artykule zaprezentowano równoległy algorytm przeszukiwania wyczerpującego. Przedstawiono także wyniki badań eksperymentalnych przeprowadzonych z wykorzystaniem transputerowej implementacji tego algorytmu. Badania pokazały, że z pomocą algorytmu równoległego minimalna doskonała funkcja mieszająca może być znaleziona znacznie szybciej niż przy użyciu algorytmu sekwencyjnego. Zaobserwowano także uzyskiwanie superprzyspieszeń. W artykule dokonano analizy teoretycznej tego zjawiska.

## LITERATURA

- [1] Bartoszek B., Czech Z. J., Konopka M.: Parallel Searching for a First Solution. Proc. 9th International Symposium on Computer and Information Sciences, 1994, s. 132-139.
- [2] Czech Z. J., Majewski B. S.: A Linear Time Algorithm for Finding Minimal Perfect Hash Functions. The Computer Journal, 1993, t. 36, nr 6, s. 579-587.

- [3] Day W.: Farming: towards a rigorous definition and efficient transputer implementation. W: Allen A.R.(Ed.): Transputer Systems — Ongoing Research. IOS Press, Amsterdam 1992.
- [4] Fredkin E.: Trie Memory. Communications of the ACM, 1960, t. 3, nr 9, s. 490-499.
- [5] May D., Sheppard R.: Communicating Process Computers. Technical Report 22, INMOS 1987.
- [6] Kale L. V., Saletore V. A.: Parallel State-Space Search for a First Solution with Consistent Linear Speedups. International Journal of Parallel Programming, 1990, t. 19, nr 4, s. 251-293.
- [7] Knuth D. E.: The Art of Computer Programming. Addison-Wesley, Reading, Massachusetts 1973, t. 3.

Recenzent: Doc. dr hab. Marek Tudruj

Wpłynęło do Redakcji 26 czerwca 1995 r.

## Abstract

Minimal perfect hash function (MPHF) is an injection from a set of keys  $W$  into an interval of integers  $[0..card(W) - 1]$ . Majewski and Czech (*The Computer Journal* 36, 6 (1993)) presented an algorithm for finding MPHF of the form  $F(w) = (h_0(w) + g \circ h_1(w) + g \circ h_2(w)) \bmod card(W)$ ,  $w \in W$ . This algorithm is briefly described in Section 2. One of the steps of the algorithm — exhaustive search — has an exponential worst-case time complexity. In Section 3 a parallel algorithm for the exhaustive search is presented. A farm of processors is used. The processor *Master* distributes work among the *Workers* and holds partial solutions in a data structure called *trie*<sup>3</sup>. The initial state of the *trie* is presented in Fig. 1. The parallel algorithm was implemented in the Parallel C language. The experiments on a transputer system were carried out. The average speedups obtained are presented in Table 1. Their values are relatively high due to the superspeedups obtained in some experiments. In Fig. 5 a search tree is shown for which a speedup greater than the number of processors  $n$  ( $n > 3$ ) can be measured.

---

<sup>3</sup>The idea of employing this structure was taken from [1], [4], [7].